

ISSN 1000-0933
CN 11-2031/Q

生态学报

Acta Ecologica Sinica



第31卷 第16期 Vol.31 No.16 2011

中国生态学学会
中国科学院生态环境研究中心
科学出版社

主办
出版



中国科学院科学出版基金资助出版

生态学报 (SHENTAI XUEBAO)

第31卷 第16期 2011年8月 (半月刊)

目 次

人工和天然湿地芦苇根际土壤细菌群落结构多样性的比较	汪仲琼,王为东,祝贵兵,等 (4489)
不同土壤水分下山杏光合作用光响应过程及其模拟	郎 莹,张光灿,张征坤,等 (4499)
不同颜色遮阳网遮光对丘陵茶园夏秋茶和春茶产量及主要生化成分的影响	秦志敏,付晓青,肖润林,等 (4509)
辐射迫对烟草叶激素水平、光合特性、荧光特性的影响	吴 坤,吴中红,邹付菊,等 (4517)
条浒苔和缘管浒苔对辐射迫的生理响应比较	蒋和平,郑青松,朱 明,等 (4525)
盐胁迫对拟南芥和盐芥莲座叶芥子油苷含量的影响	庞秋颖,陈思学,于 涛,等 (4534)
长期双季稻绿肥轮作对水稻产量及稻田土壤有机质的影响	高菊生,曹卫东,李冬初,等 (4542)
基于水量平衡下灌区农田系统中氮素迁移及平衡的分析	杜 军,杨培岭,李云开,等 (4549)
苏北海滨湿地互花米草种子特征及实生苗生长	徐伟伟,王国祥,刘金娥,等 (4560)
基于AnnAGNPS模型的三峡库区秭归县非点源污染输出评价	田耀武,黄志霖,肖文发 (4568)
镉污染对不同生境拟水狼蛛氧化酶和金属硫蛋白应激的影响	张征田,庞振凌,夏 敏,等 (4579)
印度洋南赤道流区水体叶绿素a的分布及粒级结构	周亚东,王春生,王小谷,等 (4586)
长江口滩涂围垦后水鸟群落结构的变化——以南汇东滩为例	张 斌,袁 晓,裴恩乐,等 (4599)
应用鱼类完整性指数(FAII)评价长江口沿岸碎波带健康状况	毛成贵,钟俊生,蒋日进,等 (4609)
基于渔业调查的南极半岛北部水域南极磷虾种群年龄结构分析	朱国平,吴 强,冯春雷,等 (4620)
水稻模型ORYZA2000在湖南双季稻区的验证与适应性评价	莫志鸿,冯利平,邹海平,等 (4628)
旱地农田不同耕作系统的能量/碳平衡	王小彬,王 燕,代 快,等 (4638)
宁夏黄灌区稻田冬春休闲期硝态氮淋失量	王永生,杨世琦 (4653)
太湖沉积物有机碳与氮的来源	倪兆奎,李跃进,王圣瑞,等 (4661)
日偏食对乌鲁木齐空气可培养细菌群落的影响	马 晶,孙 建,张 涛,等 (4671)
灰飞虱与褐飞虱种内和种间密度效应比较	吕 进,曹婷婷,王丽萍,等 (4680)
圈养马来熊行为节律和时间分配的季节变化	兰存子,刘振生,王爱善,等 (4689)
塔里木荒漠河岸林干扰状况与林隙特征	韩 路,王海珍,陈加利,等 (4699)
珍稀植物伯乐树一年生更新幼苗的死亡原因和保育策略	乔 琦,秦新生,邢福武,等 (4709)
垃圾堆肥复合菌剂对干旱胁迫下草坪植物生理生态特性的影响	多立安,王晶晶,赵树兰 (4717)
CLM3.0-DGVM中植物叶面积指数与气候因子的时空关系	邵 璞,曾晓东 (4725)
基于生态效率的辽宁省循环经济分析	韩瑞玲,佟连军,宋亚楠 (4732)
专论与综述	
土壤食物网中的真菌/细菌比率及测定方法	曹志平,李德鹏,韩雪梅 (4741)
生态社区评价指标体系研究进展	周传斌,戴 欣,王如松,等 (4749)
问题讨论	
不同胁迫条件下化感与非化感水稻PAL多基因家族的差异表达	方长旬,王清水,余 彦,等 (4760)
研究简报	
钦州湾大型底栖动物生态学研究	王 迪,陈丕茂,马 媛 (4768)
人工恢复黄河三角洲湿地土壤碳氮含量变化特征	董凯凯,王 惠,杨丽原,等 (4778)
基于地统计学丰林自然保护区森林生物量估测及空间格局分析	刘晓梅,布仁仓,邓华卫,等 (4783)
晋西黄土区辽东栎、山杨树干液流比较研究	隋旭红,张建军,文万荣 (4791)
小兴安岭典型苔草和灌木沼泽N ₂ O排放及影响因子	石兰英,牟长城,田新民,等 (4799)

期刊基本参数:CN 11-2031/Q * 1981 * m * 16 * 316 * zh * P * ¥ 70.00 * 1510 * 35 * 2011-08



封面图说: 在长白山麓低海拔地区的晚秋季节,成片的白桦林用无数根白色的树干、树枝烘托着林冠上跳动的金黄色叶片,共生的柞木树冠用更浓重的颜色显示了它的存在,整个山梁层林尽染,秋意浓浓。

彩图提供: 陈建伟教授 国家林业局 E-mail: cites.chenjw@163.com

刘晓梅, 布仁仓, 邓华卫, 胡远满, 刘志华, 吴志伟. 基于地统计学丰林自然保护区森林生物量估测及空间格局分析. 生态学报, 2011, 31(16): 4783-4790.

Liu X M, Bu R C, Deng H W, Hu Y M, Liu Z H, Wu Z W. Estimation and spatial pattern analysis of forest biomass in Fenglin Nature Reserve based on Geostatistics. Acta Ecologica Sinica, 2011, 31(16) :4783-4790.

基于地统计学丰林自然保护区森林生物量估测 及空间格局分析

刘晓梅^{1,2}, 布仁仓^{1,*}, 邓华卫^{1,2}, 胡远满¹, 刘志华¹, 吴志伟^{1,2}

(1. 中国科学院沈阳应用生态研究所, 沈阳 110016; 2. 中国科学院研究生院, 北京 100049)

摘要: 基于丰林保护区 1997 年样地调查数据, 根据一元生物量估测模型, 计算样地生物量, 在此基础上, 利用 ArcGIS 地统计插值方法得到整个研究区森林生物量分布, 并从林分结构(林型、林龄组)和地形因子(海拔、坡度、坡向)两个方面对保护区森林生物量空间格局进行了分析。结果表明, 利用地统计插值得到区域水平的森林生物量是可行的, 保护区森林平均生物量水平为 $171.5 \text{ t}/\text{hm}^2$, 总生物量为 3.08 Tg ($1 \text{Tg} = 10^{12} \text{ g}$); 不同林分结构(林型、林龄组)有不同的生物量水平; 地形因子与生物量有显著的相关性, 并得到它们之间的回归方程, 为保护区森林生态系统的可持续经营提供了科学依据。

关键词: 生物量; 地统计插值; 空间格局分析; 丰林保护区

Estimation and spatial pattern analysis of forest biomass in Fenglin Nature Reserve based on Geostatistics

LIU Xiaomei^{1,2}, BU Rencang^{1,*}, DENG Huawei^{1,2}, HU Yuanman¹, LIU Zhihua¹, WU Zhiwei^{1,2}

1 Institute of Applied Ecology, Chinese Academy of Sciences, Shenyang 110016, China

2 Graduate University of Chinese Academy of Sciences, Beijing 100049, China

Abstract: The biomass of 120 randomly selected from 158 sample plots, were calculated based on forest inventory data in 1997, Fenglin National Nature Reserve, Northeastern China, through the biomass estimation model. In addition, the remaining 38 sample plots were used to validate the model with correlation coefficients between the predicted and real values. Furthermore, the spatial distribution of forest biomass for each cell of the study region was derived by the spatial interpolation with geostatistics of ArcGIS on the biomass of those plots, and the relationship between the spatial distribution pattern of biomass, forest structures (including 8 forest type and 5 age groups) and terrain factors (including elevation, aspect and slope) were analyzed. The results showed that the interpolation method is mostly available method to estimate forest biomass based on forest inventory point data, since the predicted and real biomass was mostly correlated ($R^2 = 0.78$). Spatially, the biomass varied obviously in this region, it ranged from $41.6 \text{ t}/\text{hm}^2$ to $376.9 \text{ t}/\text{hm}^2$, and at average the biomass was $171.5 \text{ t}/\text{hm}^2$. The total biomass of this region kept up to 3.08 million ton for that time. Respect to forest biomass and forest structure, the biomass varied significantly with forest age, and increased with increasing forest age. The oldest forest yielded more biomass than younger forest; the biomass for the former was up to $174.8 \text{ t}/\text{hm}^2$ and for the latter reached $155.1 \text{ t}/\text{hm}^2$. In addition, the biomass varied with forest type, and decrease from coniferous forest (e. g. fir-spruce forest), conifer-deciduous mixed forest (e. g. mixed Korean pine forest) to deciduous forest. The biomass in

基金项目: 中国科学院战略性先导科技专项-应对气候变化的碳收支认证及相关问题(XDA05050201); 国家林业公益性行业专项(200804001); 国家自然科学基金项目(30870441)

收稿日期: 2010-09-19; 修订日期: 2010-12-14

* 通讯作者 Corresponding author. E-mail: Bure@iae.ac.cn

coniferous forest, conifer-deciduous mixed forest and deciduous forest were 175.0 t/hm², 162.5 t/hm², and 156.7 t/hm², respectively. Respect to forest biomass and terrain factors, the biomass was significantly affected by the terrain factors. The sites at the increasing elevation yielded lower biomass, and at the gradient of elevation (from 250 m to 700 m) the biomass decreased from 175.0 t/hm² to 155.1 t/hm². The sites at the wet-cold aspect showed higher biomass than that on dry-warm aspect, and at the gradient it ranged from 174.0 t/hm² to 163.5 t/hm². However, the relationship between slope index and the biomass showed more complicated results, the biomass decreased from 176.0 t/hm² to 167.0 t/hm² while the slope increased from 0° to 24°, and then increased to 175.0 t/hm² while slope continue to increase. Our results would be a guide to forest manager to estimate the biomass based on the inventory data, and provide a way to mitigate forest type and age to control local biomass and carbon stocks.

Key Words: forest biomass; interpolation; spatial pattern analysis; Fenglin Nature Reserve

森林生态系统作为陆地生态系统的主体,自身维持着大量的植被碳库(约占全球植被碳库的86%以上),同时森林也维持着巨大的土壤碳库(约占全球土壤碳库的73%)^[1],与其它陆地生态系统相比,森林生态系统具有较高的生产力,每年固定的碳约占陆地生态系统的三分之二^[2-3],在维持全球气候稳定、调节全球碳平衡、减缓大气温室气体浓度上升等方面具有不可替代的作用^[4]。森林生物量是森林生态系统物质循环与能量流动的基础,是衡量森林生产力的重要标志,也是评估森林碳收支的重要参数^[5]。近年来,森林生物量估算已成为现代林业科研的热点问题^[6]。

森林生物量的估算方法有直接测量和间接估算2种^[7]:直接测量即收获法,准确度高,但是耗时耗力,对森林有一定的破坏性;间接估算包括生物量模型、生物量估算参数及3S技术等方法^[8]。目前测定生物量的方法主要是间接估算,即根据样木测定及样地调查数据,外推到较大范围内进行估算,该方法的难点就是要解决尺度推移过程中产生的误差^[9]。随着GIS和空间统计技术的发展,地统计学方法在研究森林土壤更新过程、养分和水分空间变异以及物种空间分布格局、森林干扰、林分因子、地表死可燃物载荷量和种子资源的空间格局等方面取得了成功的应用^[10-11],已成为分析森林生态系统(病虫害、土壤和林木)空间变化的重要工具^[12-13],然而,地统计学在森林生物量的估测方面的研究尚不多见,缺乏应用的基础,地统计方法可以在生物量空间异质性分析基础上实现区域尺度生物量估测,为此,本文基于丰林国家级自然保护区1997年158个样地调查数据,利用一元生物量估测模型^[14-15],生成样地生物量数据库,在此基础上利用GIS地统计插值对丰林保护区森林生物量进行了估测,实现了样地尺度推移到区域尺度森林生物量估测,并从林分结构(林型和林龄组)和地形(海拔、坡度、坡向)两个方面分析了森林生物量的空间分布格局,为保护区森林生态系统可持续管理提供了科学依据。

1 研究区概况

丰林国家级自然保护区位于我国东北小兴安岭南坡北段,黑龙江省北部伊春市五营区境内(128°59'—129°15'E, 48°02'—48°12'N),总面积是18165hm²。大陆性季风气候,年均温为-0.5℃,年平均降水量640.5mm,主要集中在6—9月,空气相对湿度为73%,无霜期120d左右,土壤为山地棕色森林土,土层厚20—50cm,生长期雨量集中,温度适宜,有利于植被生长。全区属于低山丘陵地形,呈孤岛状,三面环水,低洼,地势由北、东南部边缘向中部缓慢抬高,台地与谷地较宽,海拔高度在285—688m,以中部低山所占面积最大,海拔高度集中在300—450m,地段占65%以上。山地一般顶部浑圆,坡度为10°—35°,最大坡度为50°,平缓地段占90%以上,境内主要河流有汤旺河、丰林河、平原河等9条河流,以及季节性流水小溪,纵贯全区,构成完整水系。

保护区地带性植被类型为以红松为优势的针阔混交林,属于中国东北区长白植物区系小兴安岭亚区^[16]。森林覆被率为95%,是我国目前原始红松林生态系统保存最完整、面积最大的近纯天然的原始林,主要针叶乔木树种有红松(*Pinus koraiensis*)、红皮云杉(*Picea koraiensis*)、鱼鳞云杉(*Picea jezoensis*)、冷杉(*Abies*

nephrolepis)、落叶松(*Larix gmelinii*)等,主要阔叶乔木树种有白桦(*Betula platyphylla*)、枫桦(*Betula costata*)、黑桦(*Betula davurica*)、山杨(*Populus davidiana*)、紫椴(*Tilia amurensis*)、糠椴(*Tilia mandshurica*)、蒙古栎(*Quercus mongolica*)、黄檗(*Phellodendron amurense*)、水曲柳(*Fraxinus mandshurica*)等。保护区是小兴安岭南坡森林物种、基因、群落和生态系统演替规律的缩影,是珍贵的“森林遗产”,对指导现有森林如何持续经营有着重要的现实意义。

2 材料与方法

2.1 数据来源

丰林保护区森林资源调查数据:在每个公里网格交叉点上机械设置 0.06hm^2 样地,进行每木检尺(胸径,树高等),起测胸径标准为6cm。

丰林保护区图件:丰林保护区的林相图(2000年)、数字高程模型DEM及相关资源数据库。

2.2 GIS 软件和统计软件

本研究采用ArcGIS(9.3)进行森林生物量的空间插值估测和空间格局分析;采用软件PC-Ord 5.0进行统计分析并对最后插值结果验证分析。

2.3 研究方法

2.3.1 样地生物量计算

采用158块样地检尺数据,根据一元生物量估测模型^[14-15](表1)计算每株乔木的生物量(包括地上和地下部分的生物量),统计各样地的总生物量,将单位面积生物量作为实测值,在ArcGIS中通过关键字段实现生物量数据与点状图属性表的关联,最终生成每个样地的生物量数据库。

表1 研究区各树种生物量方程^[14]

Table 1 The biomass equation of the species in the study area

树种 Species	生物量方程 Biomass equation
红松 <i>Pinus koraiensis</i>	$W=0.063D_{1.3}^{2.52134}$
云杉 <i>Picea jezoensis</i> & <i>Picea koraiensis</i> ,冷杉 <i>Abies nephrolepis</i>	$W=0.0737 D_{1.3}^{2.51264}$
落叶松 <i>Larix gmelinii</i>	$W=0.0267 D_{1.3}^{2.83184}$
白桦 <i>Betula platyphylla</i> ,枫桦 <i>Betula costata</i> ,黑桦 <i>Betula davurica</i>	$W=0.2227 D_{1.3}^{2.26251}$
黄檗 <i>Phellodendron amurense</i> ,水曲柳 <i>Fraxinus mandshurica</i>	$W = 101.871 + 2.468 \times \log_{10} D_{1.3}$ ^[15]
紫椴 <i>Tilia amurensis</i> ,糠椴 <i>Tilia mandshurica</i>	$W=0.0549 D_{1.3}^{2.36032}$
山杨 <i>Populus davidiana</i>	$W=0.6858 D_{1.3}^{1.9138}$
蒙古栎 <i>Quercus mongolica</i>	$W=0.34433 D_{1.3}^{2.212}$
春榆 <i>Ulmus davidiana</i> var. <i>japonica</i>	$W=0.0980 D_{1.3}^{2.2998}$
色木槭 <i>Acer mono</i>	$W=1.9394 D_{1.3}^{1.6483}$

$D_{1.3}$ 表示胸径, W 表示生物量

2.3.2 生物量插值及验证

利用ArcGIS(9.3)软件将158块样地数据随机生成两部分,其中120个点用来插值,38个点用来验证最后插值结果。利用地统计模块进行样地数据的统计分析、变异函数的计算、理论变异函数的最优拟合及检验,最后运用克吕格插值,实现整个研究区生物量的估测,结合地统计模块交叉验证的结果,并采用PC-Ord 5.0对38个实测值和预测值统计比较,验证插值的可行性。

2.3.3 生物量空间格局分析

利用变异函数拟合的相关参数,分析生物量的空间异质性及其主要影响因素(内部因素),选择林分结构(林型、林龄组)和地形因子(海拔、坡度、坡向)两个方面分析森林生物量的空间格局。

利用保护区林相图及资源数据库提取保护区林型及林龄组的分布图,其中林型在董云宝^[17]研究基础上加以概括,划分为人工樟子松、落叶松林、椴树红松林、阔叶林、针阔混交林、云冷杉林、枫桦红松林和云冷杉红

松林8个林型,统计分析不同林型和林龄组生物量空间分布。

利用保护区数字高程模型 DEM 提取海拔、坡度和坡向地形因子,其中坡向采用太阳辐射坡向指数 (TRASP) 来表示^[18],其公式为:

$$\text{TRASP} = \frac{1 - \cos(\pi/180)(\text{Aspect} - 30)}{2} \quad (1)$$

式中, π 圆周率=3.1415926, Aspect 表示坡向, TRASP 的范围为 0—1, 0 表示最冷、湿的坡向, 1 表示最热、干的坡向。利用 PC-Ord 5.0 统计分析地形因子与森林生物量的关系。

3 结果与分析

3.1 样地生物量的统计分析

地统计空间插值过程,需要事先对样本数据的分布特征进行分析,变异函数的计算一般要求待插值数据符合正态分布,要求平均值与中值大致相等,偏度为 0, 峰度为 3^[19], 否则可能会使变异函数产生比例效应^[20]。从统计分析结果(表 2)可见,样地生物量数据服从正态分布,可以进行地统计插值。

表 2 研究区样地生物量的统计特征

Table 2 Statistical characteristics of biomass in the study area ($n=120$)

样地生物量 Biomass/(t/hm ²)					峰度	偏度
最小值 Min	最大值 Max	平均值 Mean	中值 Median	标准差 Std. Dev	Kurtosis	Skewness
41.57	376.89	172.89	170.84	59.504	3.3686	0.4702

3.2 变异函数模型的选择

对样地生物量数据进行变异函数拟合,并选择最优模型:结构比(C/C_0+C)表示自相关部分引起的空间异质性的高低,研究认为结构比>75%时,系统具有强烈的空间相关性;结构比在25%—75%,表明系统具有中等相关性;结构比<25%,说明系统的相关性很弱。3种模型的结构比都高于75%,具有强烈的空间相关性,可以进行地统计插值。变异函数模型选择标准为决定系数大,残差小,由表 3 得到,选用球状变异函数模型,采用变异函数相关参数,在 GIS 中实现克吕格插值,得到保护区生物量分布图(图 1,表 3)。

3.3 插值结果的验证

Arc GIS 地统计模块采用交叉验证方法来评价插值的效果。交叉验证分析重复从已知数据集中删除一个采样点的过程,用剩下的采样点估算删除点的数值,并计算误差均值绝对值和误差均方根^[21]等。其标准为:平均值最接近0,均方根预测误差最小,平均标准误差

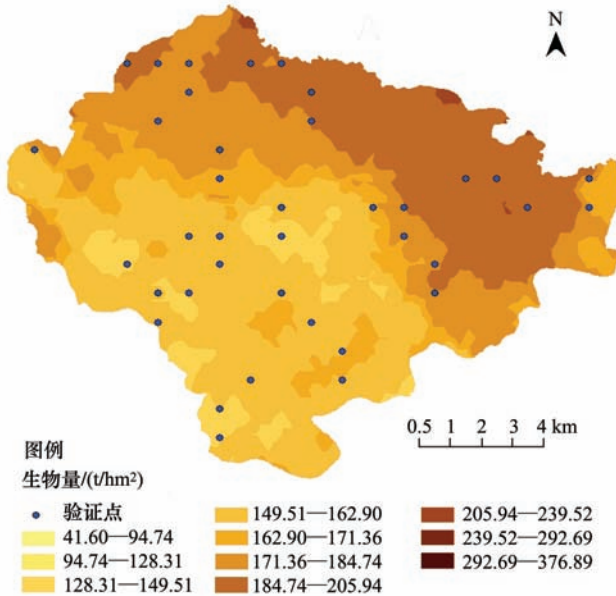


图 1 研究区生物量空间分布图

Fig. 1 The spatial distribution of biomass in the study area

表 3 生物量变异函数的相关参数值

Table 3 Parameters of variogram models for biomass

模型 Model	决定系数 R^2	残差 Residual SS	块金 Nugget	基台 Still	结构比 Structural ratio	变程 Range
球状 Spherical	0.799	110546	30	3526	0.991	1630
高斯 Gaussian	0.744	129042	230	3524	0.935	1470
指数模型 Exponential	0.797	110913	330	3527	0.906	1385

最接近均方根预测误差,标准均方根预测误差最接近 $1^{[22]}$ 。参照标准,交叉验证的结果(表4)得到克吕格插值是可行的,这种交叉验证方法一般是不同插值方法进行对比时采用的方法,本文插值结果的验证最终采用PC-Ord(5)对38个实测数据和插值数据进行统计分析,结果如图2, $y=0.8309x+35.001$, $R^2=0.7836$,克吕格插值精度较高,是一种可行的方法。

表4 研究区生物量实测值与预测值交叉验证的结果

Table 4 Cross Validation of measured and predicted value for biomass in the study area

误差平均值 Mean	误差均方根 Root-Mean-Square	平均标准误差 Average Standard Error	标准平均值 Mean Standardized	标准均方根误差 Root-Mean-Square Standardized
0.5294	60.03	60.29	0.008088	0.9961

3.4 生物量空间格局分析

从图1可以看出,生物量在东北部、北部较高,最高为 $370\text{ t}/\text{hm}^2$,西部及中部的生物量较低,生物量整体水平较高,平均生物量为 $171.5\text{ t}/\text{hm}^2$,与二氧化碳信息分析中心(CDIAC)研究成果^[23]相比,插值得到生物量是可行的,保护区总的生物量为 3.08Tg ($1\text{Tg}=10^{12}\text{ g}$)。由表3可以得到保护区生物量具有强烈的空间相关性和空间异质性,结构比为0.991,体现了空间结构(内部因素)对空间异质性贡献的大小,表明空间自相关因素是森林生物量空间异质性的主导因素,与保护区为原始森林,人为干扰少相符合,森林内部因子(地形、土壤、气候、物种等)对生物量分布格局的空间变异起主要作用。利用ArcGIS统计分析不同林型、林龄组及地形因子的生物量空间分布。

3.4.1 不同林分结构(林型和林龄组)生物量的空间分布

从表5得到,幼龄林面积约为 10 hm^2 ,占森林总面积的0.57%,平均生物量为 $155.13\text{ t}/\text{hm}^2$,总生物量约为 0.02Tg ;中龄林面积约为 1550 hm^2 ,占森林总面积的8.6%,平均生物量为 $164.32\text{ t}/\text{hm}^2$,总生物量为 0.25Tg ;近熟林的面积约为 3078 hm^2 ,占森林总面积的17.2%,平均生物量为 $173.97\text{ t}/\text{hm}^2$,总生物量为 0.54Tg ;成熟林面积为 7160 hm^2 ,占森林总面积的40%,平均生物量为 $169.74\text{ t}/\text{hm}^2$,总生物量为 121.5 万吨;过熟林面积为 6030 hm^2 ,占森林总面积的33.5%,平均生物量为 $174.75\text{ t}/\text{hm}^2$,总生物量为 1.05Tg 。平均生物量水平由高到低为过熟林>近熟林>成熟林>中龄林>幼龄林,近

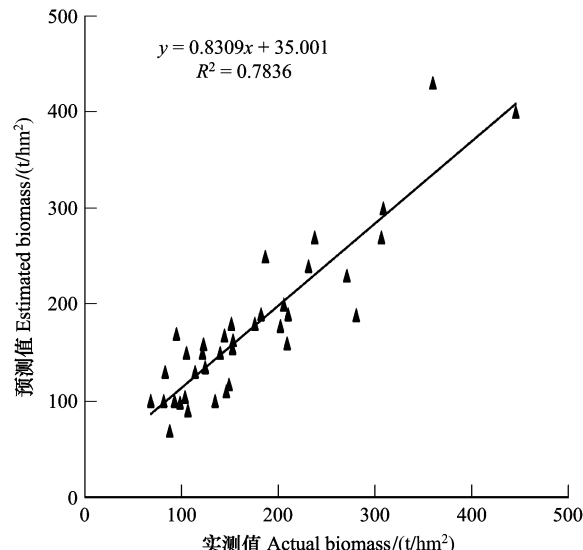


图2 38个样地实测值和预测统计比较

Fig. 2 Statistical comparisons between measured and predicted biomass in 38 samples

表5 研究区不同林龄组的生物量

Table 5 The biomass of different age group in the study area

林龄组 Age group	面积/ hm^2 Area	平均生物量/(t/hm^2) Mean biomass	总生物量/Tg Total biomass
幼龄林 Sampling	102.51	155.13	0.02
中龄林 Mid-age	1548.63	164.32	0.25
近熟林 Near-mature	3078.09	173.97	0.54
成熟林 Mature forest	7159.77	169.74	1.22
过熟林 Old-growth	6030.63	174.75	1.05
总计 Total			3.08

熟林中针叶林的比例大,所以生物量高于成熟林。总生物量水平从大到小为成熟林>过熟林>近熟林>中龄林>幼龄林,保护区森林以成过熟林为主,其生物量所占比重大。

从表6得到,不同林型有不同生物量水平,从大到小依次为云冷杉红松林>椴树红松林>云冷杉林>人工樟子松林>枫桦红松林>落叶松林>针阔混交林>阔叶林,不同林型所占的面积不同,总生物量水平相差很大,从大到小依次为云冷杉红松林>枫桦红松林>云冷杉林>针阔混交林>阔叶林>椴树红松林>落叶松林>人工樟子松,可见保护区森林以针叶林为主,其生物量水平约占总生物量水平的84%。

表6 研究区不同林型生物量

Table 6 The biomass of different forest type in the study area

林型 Forest type	面积/ hm^2 Area	平均生物量/(t/hm^2) Mean biomass	总生物量/Tg Total biomass
人工樟子松 Scotch pine plantation	3.42	173.28	0.0005
落叶松林 Larch forest	99.45	171.26	0.02
椴树红松林 Tilia-Korean pine forest	897.03	174.82	0.15
阔叶林 Broad-leaved forest	1472.31	156.71	0.23
针阔混交林 Coniferous and broad-leaved mixed forest	1458.99	162.45	0.25
云冷杉林 Spruce-fir forest	4123.62	174.17	0.72
枫桦红松林 Birch-Korean pine forest	4233.42	172.41	0.74
云冷杉红松林 Spruce-fir-Korean pine forest	5522.85	174.99	0.96
总计 Total			3.08

3.4.2 生物量与地形因子的关系

生物量随海拔的变化规律:由图3可以得到,随着海拔的升高,生物量呈现降低趋势,两者的回归关系为 $y = -0.0002x^2 + 0.1682x + 143.56, R^2 = 0.755$ 。保护区云冷杉林及云冷杉红松林等针叶林分布在沟谷或者海拔低的下坡位,随着海拔的升高,分布为针阔混交林、阔叶林,从而生物量水平降低。

生物量随着坡度的变化规律:由图4可以得到,生物量随坡度变化是比较复杂的,随着坡度的增大,生物量先降低,当坡度达到25°左右,生物量开始升高。其回归关系为 $y = 0.0148x^2 - 0.7004x + 175.54, R^2 = 0.5675$ 。保护区云冷杉林、云冷杉红松林分布在沟谷,生物量水平较高,中等坡度分布有针阔混交林,柞树红松林、部分云冷杉红松林、红松母树林等分布在陡坡,生物量水平也比较高。

生物量随坡向的变化规律:从图5可以看出,随着太阳辐射坡向指数的增加,生物量先升高,后降低,其回

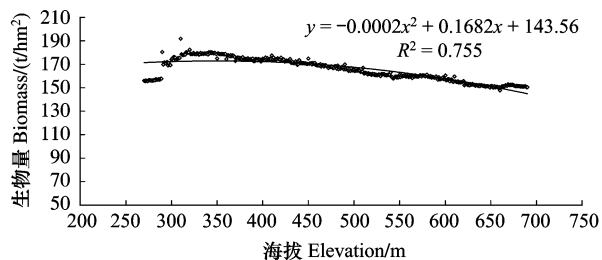


图3 研究区生物量与海拔的关系

Fig. 3 The relationship between biomass and elevation in the study area

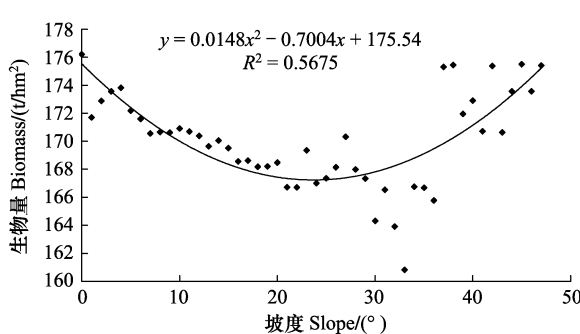


图4 研究区生物量与坡度的关系

Fig. 4 The relationship between biomass and slope in the study area

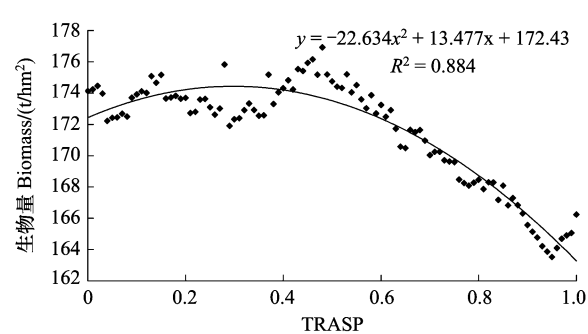


图5 研究区生物量与坡向(太阳辐射坡向指数)的关系

Fig. 5 The relationship between biomass and aspect (TRASP) in the study area

归关系为 $y = -22.634x^2 + 13.477x + 172.43$, $R^2 = 0.884$ 。在阴湿的沟谷分布有云冷杉林及云冷杉红松林,生物量较高,当 TRASP 达到 0.55 左右的时候,生物量就开始下降。可见,保护区森林生物量在冷湿环境下较高,而热、干环境下生物量偏低。

4 讨论与结论

利用插值方法解决了尺度推移问题,实现了由点到面的生物量空间分布格局。与传统的森林生物量估测方法相比,其自身的优势体现在:基于较少的样地数据,就可以实现区域尺度生物量的估测,方法较为简单,直观可行,精度较高;利用地统计的变异函数分析生物量的空间异质性,更深入的了解其空间分布格局。这种方法基于较少的样地数据即可得到区域水平上的生物量,可以利用前期的调查数据,例如森林一类清查数据,插值实现生物量空间分布,可以广泛应用到森林资源管理实践。

生物量估测方法很多,关键是估测精度的提高,这是当前森林生态学研究的热点和难点。生物量插值方法对样地数据的数量和分布有一定要求,才能保证插值的可靠性,其精度取决于样地生物量的精度及插值模型的选择,如何选择合适的、针对性强的样地生物量计算方法很重要,本文样地生物量计算过程中,起测胸径是 6cm,没有考虑胸径小于 6cm 的林木,生物量估测会偏低。插值方法的选择最为关键,今后研究中应注重对各种插值方法进行比较,实现可以普适生物量最优插值方法,基于地统计的插值方法还可以实现生物量空间分布异质性的分析。

从生物量的空间分布格局看出,森林生物量空间分布具有明显的异质性。保护区东北部、北部生物量水平较高,最高为 $370 \text{ t}/\text{hm}^2$,中部、南部生物量水平较低,保护区人为干扰少,成熟林、过熟林的面积比例大,整体上生物量水平较高,平均生物量为 $171.5 \text{ t}/\text{hm}^2$,总生物量为 3.08 Tg 。

林分结构(林龄组、林型)影响着森林生物量水平,随着森林龄级的升高,生物量增加,生物量水平从幼龄林到近熟林依次增大,成熟林的生物量稍低于近熟林,过熟林的生物量最高,保护区以成熟林、过熟林为主(面积占 75%),其生物量多于总生物量的 2/3,保护区森林生态系统存在龄组老化现象。不同林型的生物量水平不同,针叶林的平均生物量最高,针阔混交林次之,阔叶林生物量最低。保护区的针叶林(落叶松、人工樟子松、椴树红松林、枫桦红松林、云冷杉林、云冷杉红松林)占总生物量 84%,阔叶林与针阔混交林总生物量水平相差不大。

由于海拔、坡度和坡向的变化,导致了温度、水分、光照等条件的变化,引起森林生物量空间分布随海拔、坡度、坡向呈现一定的规律性:随着海拔的升高,生物量降低,低海拔的生物量水平高;随着坡度的增大,变化趋势较为复杂,生物量先下降后升高,在沟谷、陡坡的生物量水平较高;随着太阳辐射坡向指数的增加,生物量先升高后降低阴湿环境下生物量水平较高。实现保护区森林生物量的估测及空间格局分析,为保护区合理的经营与管理提供了科学依据。

References:

- [1] Post W M, Emanuel W R, Zinke P J, Stangenberger A G. Soil carbon pools and world life zones. *Nature*, 1982, 298(5870): 156-159.
- [2] Waring R H, Schlesinger W H. *Forest Ecosystems: Concepts and Management*. Florida: Academic Press, 1985: 313-335.
- [3] Kramer P J. Carbon dioxide concentration, photosynthesis, and dry matter production. *BioScience*, 1981, 31(1): 29-33.
- [4] Woodwell G M, Whittaker R H, Reiners W A, Likens G E, Delwiche C C, Botkin D B. Biota and the world carbon budget. *Science*, 1978, 199: 4325
- [5] Brown S, Sathaye J, Cannell M, Kauppi P E. Mitigation of carbon emissions to the atmosphere by forest management. *Commonwealth Forestry Review (United Kingdom)*, 1996, 75(1): 80-90, 109-109, 111-112.
- [6] Li H K, Lei Y C. *Estimation and Evaluation of Forest Biomass Carbon Storage in China*. Beijing: China Forestry Press, 2010: 1-2.
- [7] West P W. *Tree and Forest Measurement*. Berlin: Springer-Verlag, 2009: 1-199.
- [8] Luo Y J, Zhang X Q, Wang X K, Zhu J H, Hou Z H, Zhang Z J. Forest biomass estimation methods and their prospects. *Scientia Silvae Sinicae*, 2009, 45(8): 129-134.
- [9] Wang W F, Song L N, Sui X. Estimation of forest biomass and its temporal and spatial distribution patterns in Maoershan Forest Farm,

Heilongjiang Province. Journal of Northeast Forestry University, 2010, 38(1): 47-49.

- [10] Feng Y M, Tang S Z, Li Z Y. Application of spatial statistic analysis in forestry. Scientia Silvae Sinicae, 2004, 40(3): 149-155.
- [11] Liu Z H, Chang Y, Chen H W, Zhou R, Xing G Z, Zhang H X, Zhang C M. Spatial Pattern of land surface dead combustible fuel load in Huzhong forest area in Great Xing'an Mountains. Chinese Journal of Applied Ecology, 2008, 19(3): 487-493.
- [12] Hock B K, Payn T W, Shirley J W. Using a geographic information system and geostatistics to estimate site index of *Pinus radiata* for Kaingaroa forest. New Zealand Journal of Forestry Science, 1993, 23(3): 264-277.
- [13] Samra J S, Gill H S, Bhatia V K. Spatial stochastic modeling of growth and forest resource evaluation. Forest Science, 1989, 35(3): 663-676.
- [14] Chen C G, Zhu J F. The Main Forest Biomass of Northeast Manual. Beijing: China Forestry Press, 1989: 1-14.
- [15] Wang C K. Biomass allometric equations for 10 co-occurring tree species in Chinese temperate forests. Forest Ecology and Management, 2006, 222(1/3): 9-16.
- [16] Li J W. The Ecology and Management of the Pinus Mixed Forest. Harbin: Northeast Forest University Press, 1997: 1-298.
- [17] Dong Y B, Song G H, Song Y, Xue C B, Ouyang Z Y, Wang X K. Index evaluation of forest sustainable management for Fenglin Nature Conservation. Forestry Science and Technology, 2000, 25(4): 18-20.
- [18] Roberts D W, Cooper S V. Concepts and techniques of vegetation mapping// Ferguson D, Morgan P, Johnson F D, eds. Land Classifications Based on Vegetation: Applications for Resource Management. Washington DC: US Department of Agriculture, 1989, 257: 90-96.
- [19] Wu X Q, Zhang H Y, Li R G, Zhang Z X, Dong G H. ArcGIS 9 Geographic Information System Application and Practice. Beijing: Tsinghua University Press, 2007: 432-435.
- [20] Vieira S R, Hatfield J L, Nielsen D R, Biggar J W. Geostatistical theory and application to variability of some agronomical properties. Hilgardia, 1983, 58: 1246-1266.
- [21] Zhang W, Li C H, Jia X P, Chen P M, Fang L. Research on spatial Interpolation methods of Macrobenthic biomass. Marine Science Bulletin, 2010, 29(3): 351-356.
- [22] Tang G A. Introduction to Spatial Analysis Using ArcGIS. Beijing: Science Press, 2006: 452-455.
- [23] Carbon Dioxide Information Analysis Center. [2010-10-15]. <http://cdiac.ornl.gov>.

参考文献:

- [6] 李海奎, 雷源才. 中国森林植被生物量和碳储量评估. 北京: 中国林业出版社, 2010: 1-2.
- [8] 罗云建, 张小全, 王效科, 朱建华, 侯振宏, 张治军. 森林生物量的估算方法及其研究进展. 林业科学, 2009, 45(8): 129-134.
- [9] 王维芳, 宋丽楠, 隋欣. 帽儿山林场森林生物量估测及时空动态格局分析. 东北林业大学学报, 2010, 38(1): 47-49.
- [11] 刘志华, 常禹, 陈宏伟, 周锐, 荆国志, 张红新, 张长蒙. 大兴安岭呼中林区地表死可燃物载荷量空间格局. 应用生态学报, 2008, 19(3): 487-493.
- [14] 陈传国, 朱俊凤. 东北主要林木生物量手册. 北京: 中国林业出版社, 1989: 1-14.
- [16] 李景文. 红松混交林生态与经营. 哈尔滨: 东北林业大学出版社, 1997: 1-298.
- [17] 董运宝, 宋国华, 宋影, 徐存宝, 欧阳志云, 王效科. 丰林自然保护区森林可持续经营指标的评价. 林业科技, 2000, 25(4): 18-20.
- [19] 吴秀芹, 张洪岩, 李瑞改, 张正祥, 董贵华. ArcGIS 9 地理信息系统应用与实践. 北京: 清华大学出版社, 2007: 432-435.
- [21] 张伟, 李纯厚, 贾晓平, 陈丕茂, 方良. 底栖生物量空间插值方法研究. 海洋通报, 2010, 29(3): 351-356.

ACTA ECOLOGICA SINICA Vol. 31 ,No. 16 August, 2011 (Semimonthly)

CONTENTS

- A comparative study on the diversity of rhizospheric bacteria community structure in constructed wetland and natural wetland with reed domination WANG Zhongqiong, WANG Weidong, ZHU Guibing, et al (4489)
- Light response of photosynthesis and its simulation in leaves of *Prunus sibirica* L. under different soil water conditions LANG Ying, ZHANG Guangcan, ZHANG Zhengkun, et al (4499)
- Effects of colour shading on the yield and main biochemical components of summer-autumn tea and spring tea in a hilly tea field QIN Zhimin, FU Xiaoqing, XIAO Runlin, et al (4509)
- Effects of cadmium on the contents of phytohormones, photosynthetic performance and fluorescent characteristics in tobacco leaves WU Kun, WU Zhonghong, TAI Fujie, et al (4517)
- Comparative physiological responses of cadmium stress on *Enteromorpha clathrata* and *Enteromorpha linza* JIANG Heping, ZHENG Qingsong, ZHU Ming, et al (4525)
- Effects of salt stress on glucosinolate contents in *Arabidopsis thaliana* and *Thellungiella halophila* rosette leaves PANG Qiuying, CHEN Sixue, YU Tao, et al (4534)
- Effects of long-term double-rice and green manure rotation on rice yield and soil organic matter in paddy field GAO Jusheng, CAO Weidong, LI Dongchu, et al (4542)
- Nitrogen balance in the farmland system based on water balance in Hetao irrigation district, Inner Mongolia DU Jun, YANG Peiling, LI Yunkai, et al (4549)
- Seed characteristics and seedling growth of *Spartina alterniflora* on coastal wetland of North Jiangsu XU Weiwei, WANG Guoxiang, LIU Jin'e, et al (4560)
- Assessment of non-point source pollution export from Zigui county in the Three Gorges Reservoir area using the AnnAGNPS model TIAN Yaowu, HUANG Zhilin, XIAO Wenfa (4568)
- Effects of Cadmium pollution on oxidative stress and metallothionein content in *Pirata subpiraticus* (Araneae: Lycosidae) in different habitats ZHANG Zhengtian, PANG Zhenling, XIA Min, et al (4579)
- The distribution of size-fractionated chlorophyll a in the Indian Ocean South Equatorial Current ZHOU Yadong, WANG Chunsheng, WANG Xiaogu, et al (4586)
- Change of waterbird community structure after the intertidal mudflat reclamation in the Yangtze River Mouth: a case study of NanHui Dongtan area ZHANG Bin, YUAN Xiao, PEI Enle, et al (4599)
- Application of fish assemblage integrity index(FAII) in the environment quality assessment of surf zone of Yangtze River estuary MAO Chengze, ZHONG Junsheng, JIANG Rijin, et al (4609)
- Population age structure of Antarctic krill *Euphausia superba* off the northern Antarctic Peninsula based on fishery survey ZHU Guoping, WU Qiang, FENG Chunlei, et al (4620)
- Validation and adaptability evaluation of rice growth model ORYZA2000 in double cropping rice area of Hunan Province MO Zhihong, FENG Liping, ZOU Haiping, et al (4628)
- Coupled energy and carbon balance analysis under dryland tillage systems WANG Xiaobin, WANG Yan, DAI Kuai, et al (4638)
- The nitrate-nitrogen leaching amount in paddy winter-spring fallow period WANG Yongsheng, YANG Shiqi (4653)
- The sources of organic carbon and nitrogen in sediment of Taihu Lake NI Zhaokui, LI Yuejin, WANG Shengrui, et al (4661)
- Effect of partial solar eclipse on airborne culturable bacterial community in Urumqi MA Jing, SUN Jian, ZHANG Tao, et al (4671)
- Comparative study on density related intra- and inter-specific effects in *Laodelphax striatellus* (Fallen) and *Nilaparvata lugens* (Stål) LÜ Jin, CAO Tingting, WANG Liping, et al (4680)
- Behavior rhythm and seasonal variation of time budget of sun bear (*Helarctos malayanus*) in captivity LAN Cunzi, LIU Zhenheng, WANG Aishan, et al (4689)
- Disturbance regimes and gaps characteristics of the desert riparian forest at the middle reaches of Tarim River HAN Lu, WANG Haizhen, CHEN Jiali, et al (4699)
- Death causes and conservation strategies of the annual regenerated seedlings of rare plant, *Bretschneidera sinensis* QIAO Qi, QIN Xinsheng, XING Fuwu, et al (4709)
- Effects of municipal compost extracted complex microbial communities on physio-ecological characteristics of turfgrass under drought stress DUO Lian, WANG Jingjing, ZHAO Shulan (4717)
- Spatiotemporal relationship of leaf area index simulated by CLM3.0-DGVM and climatic factors SHAO Pu, ZENG Xiaodong (4725)
- Analysis of circular economy of Liaoning Province based on eco-efficiency HAN Ruiling, TONG Lianjun, SONG Yanan (4732)
- Review and Monograph**
- The fungal to bacterial ratio in soil food webs, and its measurement CAO Zhiping, LI Depeng, HAN Xuemei (4741)
- Indicators for evaluating sustainable communities: a review ZHOU Chuanbin, DAI Xin, WANG Rusong, et al (4749)
- Discussion**
- Differential expression of *PAL* multigene family in allelopathic rice and its counterpart exposed to stressful conditions FANG Changxun, WANG Qingshui, YU Yan, et al (4760)
- Scientific Note**
- Ecology study on the benthic animals of QinZhou Bay WANG Di, CHEN Pimao, MA Yuan (4768)
- Change characteristics of soil carbon and nitrogen contents in the Yellow River Delta soil after artificial restoration DONG Kaikai, WANG Hui, YANG Liyuan, et al (4778)
- Estimation and spatial pattern analysis of forest biomass in Fenglin Nature Reserve based on Geostatistics LIU Xiaomei, BU Rencang, DENG Huawei, et al (4783)
- Study on sap flow in forest of *Quercus liaotungensis* and *Populus davidiana* by using the TDP method SUI Xuhong, ZHANG Jianjun, WEN Wanrong (4791)
- N_2O Emission and its driving factors from typical marsh and shrub swamp in Xiaoxing'an Mountains, Northeast China SHI Lanying, MU Changcheng, TIAN Xinmin, et al (4799)

2009 年度生物学科总被引频次和影响因子前 10 名期刊*

(源于 2010 年版 CSTPCD 数据库)

排序 Order	期刊 Journal	总被引频次 Total citation	排序 Order	期刊 Journal	影响因子 Impact factor
1	生态学报	11764	1	生态学报	1.812
2	应用生态学报	9430	2	植物生态学报	1.771
3	植物生态学报	4384	3	应用生态学报	1.733
4	西北植物学报	4177	4	生物多样性	1.553
5	生态学杂志	4048	5	生态学杂志	1.396
6	植物生理学通讯	3362	6	西北植物学报	0.986
7	JOURNAL OF INTEGRATIVE PLANT BIOLOGY	3327	7	兽类学报	0.894
8	MOLECULAR PLANT	1788	8	CELL RESEARCH	0.873
9	水生生物学报	1773	9	植物学报	0.841
10	遗传学报	1667	10	植物研究	0.809

*《生态学报》2009 年在核心版的 1964 种科技期刊排序中总被引频次 11764 次, 全国排名第 1; 影响因子 1.812, 全国排名第 14; 第 1—9 届连续 9 年入围中国百种杰出学术期刊; 中国精品科技期刊

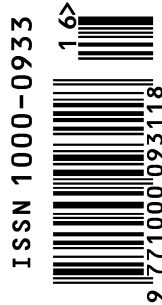
编辑部主任 孔红梅

执行编辑 刘天星 段 靖

生态学报
(SHENGTAI XUEBAO)
(半月刊 1981 年 3 月创刊)
第 31 卷 第 16 期 (2011 年 8 月)

ACTA ECOLOGICA SINICA
(Semimonthly, Started in 1981)
Vol. 31 No. 16 2011

编 辑	《生态学报》编辑部 地址: 北京海淀区双清路 18 号 邮政编码: 100085 电话: (010) 62941099 www. ecologica. cn shengtaixuebao@ rcees. ac. cn	Edited by Editorial board of ACTA ECOLOGICA SINICA Add: 18, Shuangqing Street, Haidian, Beijing 100085, China Tel: (010) 62941099 www. ecologica. cn Shengtaixuebao@ rcees. ac. cn
主 编	冯宗炜	Editor-in-chief FENG Zong-Wei
主 管	中国科学技术协会	Supervised by China Association for Science and Technology
主 办	中国生态学学会 中国科学院生态环境研究中心 地址: 北京海淀区双清路 18 号 邮政编码: 100085	Sponsored by Ecological Society of China Research Center for Eco-environmental Sciences, CAS Add: 18, Shuangqing Street, Haidian, Beijing 100085, China
出 版	科学出版社 地址: 北京东黄城根北街 16 号 邮政编码: 100717	Published by Science Press Add: 16 Donghuangchenggen North Street, Beijing 100717, China
印 刷	北京北林印刷厂	Printed by Beijing Bei Lin Printing House, Beijing 100083, China
发 行	科学出版社 地址: 东黄城根北街 16 号 邮政编码: 100717 电话: (010) 64034563 E-mail: journal@ cspg. net	Distributed by Science Press Add: 16 Donghuangchenggen North Street, Beijing 100717, China Tel: (010) 64034563 E-mail: journal@ cspg. net
订 购	全国各地邮局	Domestic All Local Post Offices in China
国外发行	中国国际图书贸易总公司 地址: 北京 399 信箱 邮政编码: 100044	Foreign China International Book Trading Corporation Add: P. O. Box 399 Beijing 100044, China
广告经营 许 可 证	京海工商广字第 8013 号	



ISSN 1000-0933
CN 11-2031/Q

国内外公开发行

国内邮发代号 82-7

国外发行代号 M670

定价 70.00 元